

اثر بلورینگی بر مهاجرت مواد سبک از پلی اتیلن سنگین به ماده غذایی چرب

Crystallinity Effect on Migration of Low Molecular Weight Substances
from HDPE into Fatty Food

مریم رفیعی^{*}، محمد حسین نوید فامیلی^{*}، همایون معدل

تهران، دانشگاه تربیت مدرس، دانشکده فنی و مهندسی، گروه پلیمر، صندوق پستی ۱۴۱۱۵/۱۴۳

دریافت: ۸۳/۶/۱۴، پذیرش: ۸۴/۷/۲۳

چکیده

مهاجرت، پدیده انتقال مواد از ظروف بسته‌بندی به ماده غذایی در تماس با آن، برای کنترل سلامت ماده غذایی حائز اهمیت است. عوامل مختلفی مانند نوع پلیمر، ماده غذایی، مواد مهاجر و شرایط تماس در سرعت مهاجرت و مقدار آن مؤثر هستند. بلورینگی و شکل شناسی پلیمر از عوامل مؤثر بر پدیده مهاجرت‌اند. در این پژوهش، با استفاده از پلی اتیلن سنگین و با روش قالبگیری فشاری و قالبگیری تزریقی نمونه‌هایی در شرایط مختلف، تهیه شد. مقدار بلورینگی نمونه‌ها به کمک تجزیه گرمایی معین شد و نمونه‌ها در شرایط دمایی زیاد در معرض شبه‌غذایی چرب (محلول اتانول ۹۵ درصد) قرار داده شد. مقدار کاهش وزن نمونه‌ها، مهاجرت مواد از پلی اتیلن به ماده غذایی و ارتباط آن با بلورینگی نمونه‌ها بررسی شد. نتایج نشان می‌دهد که در هر دو فرایند با افزایش بلورینگی قطعات تهیه شده، مهاجرت مواد از نمونه به ماده غذایی کاهش می‌یابد.

واژه‌های کلیدی

مهاجرت، بسته‌بندی مواد غذایی،
پلی اتیلن سنگین، بلورینگی
تجزیه گرمایی

مقدمه

توسعه بسته‌بندی مواد غذایی در دهه گذشته بوجود آمده است و امروزه بیش از ۳۰ نوع پلاستیک متفاوت به عنوان مواد بسته‌بندی استفاده می‌شود [۱]. پلیمرها موادی خنثی هستند و روی مواد غذایی اثری ندارند. ولی، مواد شیمیایی متنوعی را شامل می‌شوند که به غذای بسته‌بندی، سبب افزایش اطمینان به سلامت مواد غذایی در برابر میکرووارگانیسمها و تغییرات زیستی و شیمیایی آن می‌شود. در نتیجه بسته‌بندی، جزئی لازم در فرایند تولید مواد غذایی شده است. به دلیل رویارویی با تقاضای وسیع صنعت مواد غذایی، رشد برجسته‌ای در

Key Words

migration, food packaging,
high density polyethylene, crystallinity
thermal analysis

قابل تعديل خواص فیزیکی و مرتبط با شکل شناسی پلیمر است. اما، اندازه‌گیری و تخمین این عوامل اغلب مشکل است [۳]. انتقال مولکولهای کوچک از میان پلیمری بدون تخلخل فرایند نفوذ - انحلال است و شار وابسته به انحلال پذیری و نفوذ پذیری است. نفوذ نفوذ‌کننده‌ها در پلیمرهای نیمه بلوری بیشتر از میان فاز بی شکل اتفاق می‌افتد. بلورها بطور کلی برای تمام مولکولهای غیر واکنشی، نفوذناپذیر هستند. بلورها مانع در برابر انتقال نفوذ کننده‌ها از میان سامانه ایجاد می‌کنند که باعث افزایش مسیر نفوذ می‌شوند. بدین ترتیب، آنچه ممانعت هندسی نامیده می‌شود، به وسیله عامل پیچ و خم معین می‌شود. حرکت قطعه فاز بی شکل بشدت با محدودیت ممانعت بلورها کاهش می‌یابد. همچنین، نواقص زنجیرها شامل انتهای زنجیرها و شاخه‌های زنجیرها در فاز بی شکل وجود دارد که باعث افزایش حجم آزاد می‌شود [۵].

روندهای بلوری شدن مولکولها بسته به پیکربندی زنجیرهای است. زنجیرهای صلب پلیمر به شکل دسته‌هایی با ساختارهای میله‌ای شکل می‌گیرند. ساختار توده یا درشت پلیمرها به اینکه بلور از محلول رقیق یا مذاب اتفاق می‌افتد بستگی دارد. زمانی که بلور در شرایط ساکن در محلول رقیق اتفاق می‌افتد، تک بلورها شامل زنجیرهای تاخورده هستند. زمانی که بلوری شدن از مذاب در شرایط ساکن اتفاق می‌افتد، تاخوردن زنجیرها به سرعت در تمام جهت‌ها اتفاق می‌افتد و منجر به ساختار گویچه‌ای می‌شود. تنفس اثر مشخصی روی ساختار یا شکل شناسی پلیمر دارد. در محلولهای رقیق و مذابهای زنجیرهای منعطف پلیمری، تنفس سبب می‌شود ساختار شیش کباب (shish kebab) ایجاد شود. زنجیرها تاخورده بنظر می‌رسد که از ردیفهای زنجیرهایی که بشدت بسط یافته‌اند، ناشی می‌شوند [۶]. درصد بلورینگی اثر مهمی روی ویژگیهای ماده دارد. بلورینگی بیشتر باعث افزایش چگالی می‌شود. با افزایش چگالی حجم آزاد ماده کاهش می‌یابد و نواحی بی‌شکل کمتر و در نتیجه مقدار مهاجرت مواد کمتر می‌شود. ساختار پلیمر از راههای ظرفی طریقی روی خواص پلیمر اثر می‌گذارد. تغییرات کمی در بلورینگی و آرایش یافته‌گی زنجیرهای پلیمر می‌تواند مسیر نفوذ را تغییر دهد. اثر بلورینگی و ساختار بلورها بر نفوذ گازها و حلالها به درون پلیمر بررسی شده است [۵]. با وجود فعالیتهای پژوهشی زیاد انجام شده در زمینه پیش‌بینی و تخمین مقدار مهاجرت و مقالات و مطالب ارائه شده در این خصوص، در اغلب مدل‌ها مقادیر مهاجرت براساس جرم مولکولی، دما و ثابت‌هایی که براساس کارهای تحریبی بدست می‌آید، تخمین زده شده است. در حالت در نظر گرفتن سایر عوامل نیز تعداد این عوامل زیاد و تعیین آنها هزینه زیادی دارد که از هدف مدل‌سازی که تسهیل آزمونها و صرفه جویی هزینه‌های آزمایشها و زمان

بسته‌بندی شده مهاجرت می‌کنند [۲]. نوع برهمکنش ماده غذایی با بسته‌بندی به اجزای غذا و بسته‌بندی بستگی دارد. این برهمکنشها نتیجه فرایندهای انتقال جرم است که در چند فاز نامتعادل سامانه اتفاق می‌افتد. سینتیک این فرایند بشدت به خواص اجزای سامانه وابسته است. بسته به ساختار پلیمرها، فرایندهای انتقال جرم ممکن است مهاجرت، عبوردهی یا جذب باشند. همچنین، برخی از اجزا ممکن است منتقل نشوند، ولی فرایند را تحت تأثیر قرار دهند [۳].

پدیده مهاجرت مواد موجود در پلیمر به غذا، در خصوص حرکت مواد کوچک مولکول از بسته‌بندی به درون ماده غذایی مطرح می‌شود. اگر این پدیده بر اساس کاهش وزن ظرف بسته‌بندی پس از مهاجرت به ماده غذایی محاسبه شود، مهاجرت کلی نامیده می‌شود. در این حالت مهاجرت کلیه مواد مهاجر ارزیابی می‌شود.

برای کنترل پدیده مهاجرت باید اسلوب مهاجرت و عوامل مؤثر بر آن بررسی شود. پدیده مهاجرت مواد از پلیمرهای لاستیکی در دمای بیشتر از دمای انتقال شیشه‌ای اتفاق می‌افتد. این فرایند، انتقال جرم است که از قوانین نفوذ فیک پیروی می‌کند [۴، ۱، ۳]. عوامل مؤثر بر پدیده مهاجرت افزون بر ماهیت پلیمر، ماهیت ماده غذایی در تماس با قطعه پلیمری، عوامل انحلال پذیری، دما، غلظت و ضخامت قطعه شامل عوامل دیگر مانند بلور، آرایش یافته‌گی زنجیرهای پلیمری و شکل شناسی پلیمر نیز هست [۴]. در فرایندهای مختلف شکل دهی پلیمرها، عوامل فرایندی بر خواص و ویژگیهای مختلف قطعه مؤثر است. از جمله این ویژگیها، آرایش یافته‌گی زنجیرهای، درصد بلورینگی قطعه و شکل شناسی زنجیرهای پلیمری است که با تغییر عوامل فرایندی تفاوت می‌کند. از آنجاکه نفوذ در بخش‌های بی‌شکل پلیمر اتفاق می‌افتد و بخش‌های بلوری ماده به شکل مانع در برابر نفوذ عمل می‌کنند، تغییر در مقدار بلورینگی سبب تغییر در ضربی نفوذ می‌شود [۵].

فرایندهای مهاجرت چه کوچک و چه بزرگ مولکول، در پلیمرهای لاستیکی، پلیمرهایی که در دمای بالای دمای انتقال شیشه‌ای خود قرار دارند، به وسیله معادلات نفوذ فیک توضیح داده می‌شوند. پدیده مهاجرت مواد از ظرف بسته‌بندی به درون غذا در سه مرحله شامل نفوذ درون پلیمر، انحلال در سطح مشترک پلیمر - غذا و توزیع درون غذا اتفاق می‌افتد. از میان این سه مرحله، مرحله نفوذ درون پلیمر کنترلین سرعت را دارد و کنترل کننده پدیده مهاجرت است. از عوامل اصلی در کنترل پدیده مهاجرت، ضربی نفوذ است [۱].

ضربی نفوذ براساس نظریه حجم آزاد بیان می‌شود. بنابراین، احتمال یافتن مهاجر، برابر احتمال یافتن حفره‌ای است که برای مهاجرت مهاجر به درون آن، به اندازه کافی بزرگ باشد. با این وجود، معادلاتی که وظیفه پیش‌بینی و تخمین ضربی نفوذ را دارند بر مبنای این نظریه شامل عوامل

مختلف دو فرایند قالبگیری فشاری و قالبگیری تزریقی به دلیل تفاوت مشخص در مقدار آرایش یافتنگی، جریان و شکل شناسی زنجیرهای پلیمر انتخاب شد تا نمونه هایی با درصد بلورینگی متفاوت بdstگاه آید. بدین منظور نمونه هایی در شرایط مختلف فرایند با dstگاه تزریقی و قالبگیری فشاری تهیه و بررسی شد. dstگاه Toledo DSC، مدل FP99A برای آزمون تجزیه گرمایی نمونه ها و ترازوی دقیق با دقت ۰.۰۰۱ g برای اندازه گیری وزن نمونه ها باکار گرفته شد.

روشها

قالبی که برای تولید دیسکهای پلیمری به کمک قالبگیری فشاری استفاده شد، به شکل دیسک و دارای مجرای عبور آب درون هر دو کفعه برای تنظیم دماس است. بخش داخلی قالب آب کرم داده شد تا قطعه بدون نیاز به استفاده از مواد رها کننده از قالب جدا شود. قالب روی dstگاه نصب می شود و دمای آن تا دمای فرایند ماده افزایش می یابد. پس از اینکه دما در دو کفعه یکنواخت شد، مقدار ماده لازم برای پرکردن قالب حدود ۷/۵ برابر وزن قطعه نهایی در نظر گرفته شد. این مقدار را در مرکز قالب قرار داده، دو کفعه قالب با سرعت ثابت بسته شد و مدت ۱۰ min در همین شرایط باقی ماند. سپس، جریان آب با دمای ۲۵°C در مجراهای آب قالب برقرار شد تا دمای قالب به حدود دمای محیط برسد، دمای قالب به کمک دما سنج نوری اندازه گیری و سپس، قطعه از قالب خارج شد. در تهیه نمونه های پلی اتیلن سنگین به کمک dstگاه پرس عوامل مختلف ثابت و تها سرعت سرمایش متفاوت بود. دمای قالب ۱۵°C، زمان اقامت ۱۰ min و فشار پرس ۳۰ MPa تنظیم شد. سرعت سرمایش برای نمونه های مختلف در جدول ۲ نشان داده شده است.

برای تهیه نمونه ها به روش قالبگیری تزریقی، دمای مذاب، دمای قالب، فشار تزریق و سایر شرایط، ثابت و برای هر سه نمونه یکسان و تنها دمای قالب در شرایط تهیه آنها متفاوت است و در سه دمای مختلف قرار داده شده است. دمای قالب به کمک دما سنج نوری اندازه گیری شد. از آنجا که دمای قالب کمتر از دمای ذوب ماده پلی اتیلن سنگین است، ورود مذاب به قالب سبب سرد شدن مذاب می شود. هر چه اختلاف

جدول ۲ شرایط تولید قطعه با dstگاه قالبگیری فشاری.

سرعت سرمایش (°C/min)	زمان اقامت (min)	دمای مذاب (°C)	نمونه
۳۰	۲	۱۵۰	۱
۱۴/۵	۲	۱۵۰	۲
۲/۰۵	۲	۱۵۰	۳

است به دور است. اما، در خصوص برسی اثر بلورینگی بر پدیده مهاجرت مواد همراه با پلیمر به درون مواد غذایی که به عنوان شاخص اثر فرایند در نظر گرفته شده است، مطلبی یافت نشده و این موضوع برسی نشده است.

در این پژوهش، ارتباط مقدار مهاجرت مواد و بلورینگی در دو فرایند مختلف شکل دهی شامل قالبگیری تزریقی و قالبگیری فشاری، از نمونه پلی اتیلن سنگین برسی شده است. عوامل مختلف اثر گذار بر پدیده مهاجرت مانند نوع مواد، مقدار اولیه ماده افزودنی و دیگر عوامل ثابت نگه داشته شده و تنها یکی از شرایط فرایندی برای ایجاد تغییر در بلورینگی ماده تغییر داده شده است. سپس، نمونه های تهیه شده در مجاورت شبه غذای چرب و در دمای زیاد، ۲ h در ۲۰°C و سپس ۲۳۸ h در ۴۰°C قرار داده شد [۷]. مقادیر مهاجرت مواد براساس کاهش وزن نمونه ها و مهاجرت کلی اندازه گیری شد. برای بدست آوردن مقادیر بلورینگی نمونه ها، روی آنها تجزیه گرمایی انجام شد، در انتها ارتباط آنها مورد بررسی قرار گرفته است. مهاجرهای احتمالی پلی اتیلن سنگین (HDPE) شامل ضد اکسیده، عوامل ضد الکتریسیته ساکن، رنگدانه ها، روان کننده ها و عوامل لغرنده هستند. در مقالات آینده مهاجرت ویژه (شامل آزمایش و تعیین مقدار مهاجرت ماده ای خاص) ضد اکسیده های موجود در پلی اتیلن سنگین بررسی خواهد شد.

تجربی

مواد

در این پژوهش، از پلی اتیلن سنگین نوع EX^۳، محصول مجتمع پتروشیمی ارک با مشخصات ارائه شده در جدول ۱، اثانول ۹۵ درصد مرک با شماره ۱۱۱۷۷ و آب یون زدوده ویژه HPLC تهیه شده به وسیله dstگاه دوبار تقطیر استفاده شد.

dstگاهها

در بحث ساختار بلورها و درصد بلورینگی، عوامل فرایندی مانند دمای مذاب، دمای قالب، سرعت سرمایش، جریان و تنشهای فرایندی در درشت ساختار و درصد تبلور بسیار موثر هستند. از میان فرایندهای

جدول ۱ مشخصات فیزیکی پلی اتیلن.

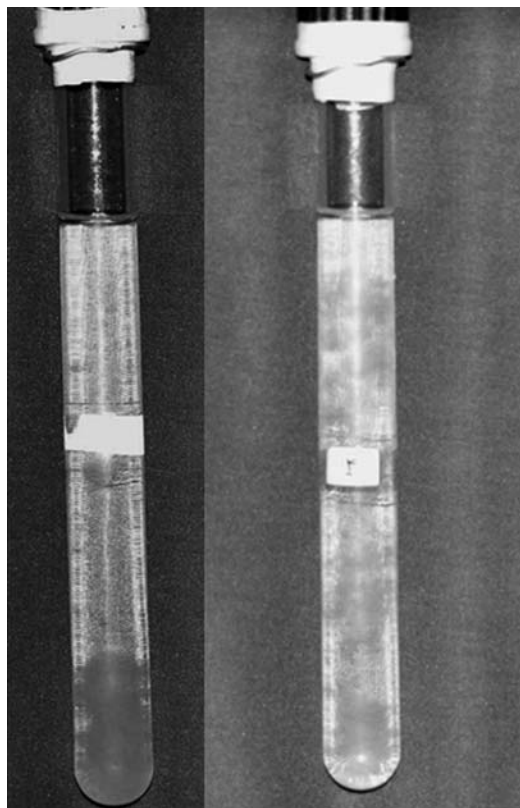
مشخصه	روش آزمون	مقدار
MFI (g/10 min) چگالی (g/cm ³)	DIN ۵۳۷۳۵ DIN ۵۳۴۷۹	۰/۴۰-۰/۷ ۰/۹۴۲-۰/۹۴۶

پلیمر خارج شود. هنگام ثبیت وزن، قطعه‌ها با دقت 0.001% توزین شدند. برای هر نمونه، آزمایش ۳ بار تکرار و از نتایج میانگین عددی گرفته شد. شکل ۱ محلول باقیمانده را در انتهای آزمون مهاجرت نشان می‌دهد. این محلول محتوی مواد مهاجرت کرده از نمونه پلیمری به محلول اتانول است که به شکل مواد معلق مشاهده می‌شود.

برای تعیین مقدار بلورینگی، تجزیه گرمایی روی نمونه‌ها انجام شد. به این منظور از هر نمونه دو قطعه با وزن مشخص، از دمای محیط (30°C) تا دمای 200°C با سرعت گرمادهی $10^{\circ}\text{C}/\text{min}$ ، در یک مسیر رفت، گرما داده شدند و رفتار گرمایی آنها بررسی شد. با استفاده از تجزیه گرمایی نمونه‌ها، درصد بلورینگی (χ_c) با استفاده از آنتالپیهای ذوب از طریق معادله (۱) محاسبه شد:

$$\% \chi_c = \frac{\Delta H_a - \Delta H_c}{\Delta H_a} \times 100 \quad (1)$$

در این معادله ΔH آنتالپی ذوب نمونه مجھول و ΔH_a و ΔH_c به ترتیب آنتالپیهای ذوب نمونه‌های بلوری و بی‌شکل استاندارد است. دمای ذوب پلی‌اتیلن صد درصد بلوری 142°C و گرمای ذوب آن $286/7 \text{ mJ/mg}$ گزارش شده است [۹].



شکل ۱ محلول باقیمانده پس از آزمون مهاجرت، شامل محلول اتانول درصد مواد مهاجر. ۹۵

دمای مذاب و قالب بیشتر باشد مانند این است که شوک گرمایی به نمونه وارد شده است و به عبارتی به ایجاد شرایط سرد شدن ناگهانی (quench) نزدیکتر است. بنابراین، هر چه اختلاف دمای قالب و مذاب بیشتر باشد، مذاب سریعتر سرد می‌شود، بلورهای تشکیل شده ریزتر و ناپایدارتر و درصد بلورینگی نمونه کمتر است. اختلاف دمای مذاب و قالب، سبب سرد شدن دمای مذاب می‌شود. به دلیل تفاوت دمای قالب در نمونه‌ها، اختلاف دمای مذاب و دمای قالب برای نمونه‌های مختلف متفاوت است و تفاوت در سرعت سرد شدن سبب تفاوت در ساختار و مقدار بلورهای تشکیل شده می‌شود. تغییر در شرایط فرایندی با هدف دستیابی به درصدهای بلورینگی متفاوت انجام شده است. باید توجه داشت شرایط فرایندی هدف این پژوهش نیست و هدف از هر نوع تغییر در شرایط فرایندی رسیدن به درصد بلورینگی (ساختار بلوری یا مقدار بلورینگی) متفاوت است. جدول ۳ شرایط تولید قطعه را به کمک دستگاه قالبگیری تزریقی نشان می‌دهد.

از هر یک از نمونه‌های معرفی شده ۵ قطعه تهیه گردید که ۳ قطعه برای انجام آزمون مهاجرت و ۲ قطعه برای انجام تجزیه گرمایی و اندازه گیری مقدار بلورینگی استفاده شد.

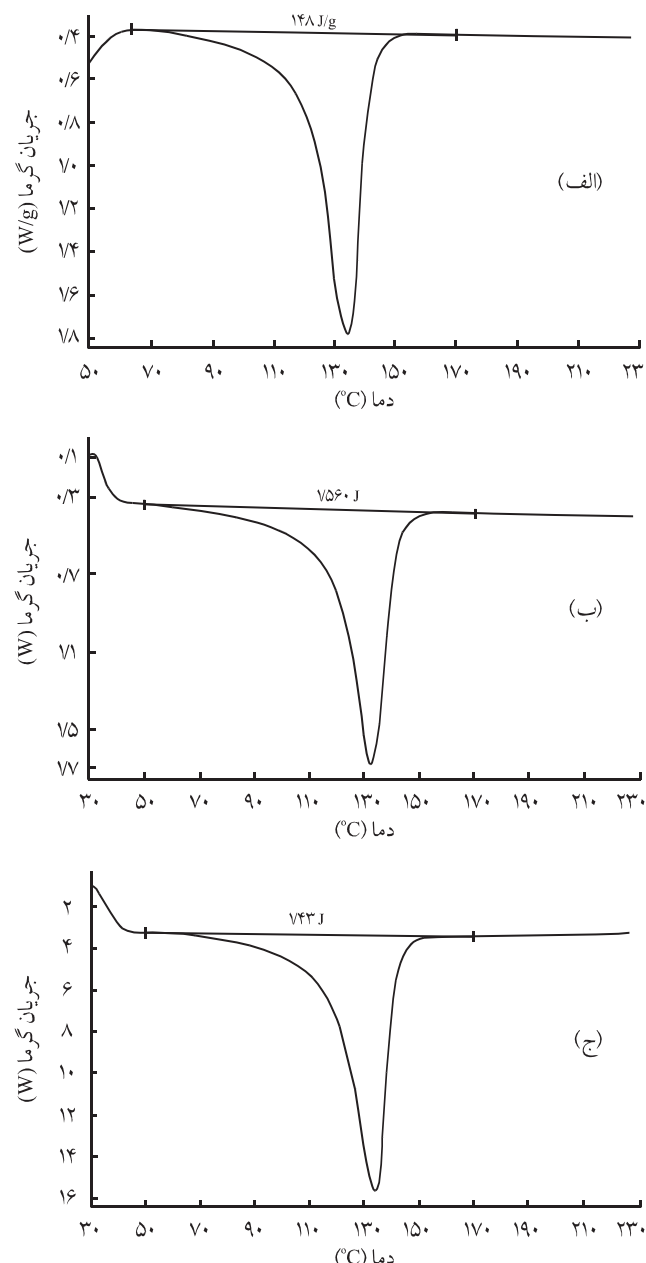
برای انجام آزمایش مهاجرت، نمونه‌ها درون محلول آبی اتانول ۹۵ درصد که به عنوان شبه غذای چرب است [۴]، قرار داده شد. نسبت حجم محلول به سطح قطعه براساس استاندارد $8/83$ درصد انتخاب شد [۸]. بدین ترتیب که قطعاتی با ابعاد $110 \times 11 \times 3 \text{ mm}^3$ از نمونه‌ها تهیه و با دقت 0.001% توزین شد و در ظرف محتوى 22 mL محلول آبی اتانول ۹۵ درصد قرار داده شد. سر ظرف با کمک نوار تفلون و درپوش پیچی بسته شد تا از تبخیر مواد در طول آزمایش جلوگیری شود. شرایط معادل مدت ۶ تا 12 ماه به عنوان شرایط آزمایش انتخاب شد که تسریع شده این شرایط شامل نگهداری نمونه به مدت 2 h در 121°C و سپس به مدت 238 h در دمای 40°C است [۴]. سپس، قطعات پلیمری مدت حدود 2 h در آون در دمای 60°C قرار داده شد. تا ثابت شدن وزن، نمونه‌ها درون خشکانه قرار داده شد تا حلal جذب شده به داخل پلیمر، تبخیر شده از

جدول ۳ شرایط تولید قطعه با دستگاه تزریق.

زمان اقامت (min)	دمای مذاب (°C)	دمای قالب (°C)	نمونه
۲	۱۵۰	۳۰	۴
۲	۱۵۰	۵۵	۵
۲	۱۵۰	۸۰	۶

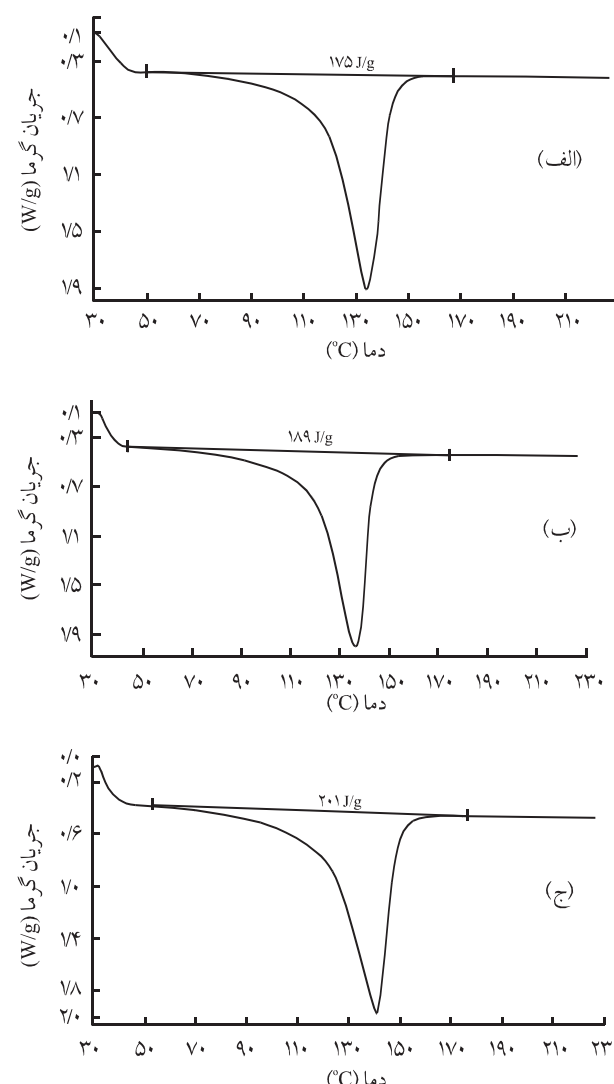
نتایج و بحث

با کاهش سرعت سرمایش، به دلیل افزایش بلورینگی، ساختار بلورهای تشکیل شده کاملتر و بلورهای تشکیل شده از لحظه ترمودینامیکی پایدارتر هستند. سرعت سرمایش بر مقدار بلورینگی مؤثر است. با کم شدن سرعت سرمایش، مقدار بلورینگی افزایش می‌یابد و با توجه به نتایج، با کاهش سرعت سرمایش، سطح زیر پیک ذوب افزایش می‌یابد. به این مفهوم که آنتالپی ذوب افزایش یافته و بلورینگی بیشتر شده است.



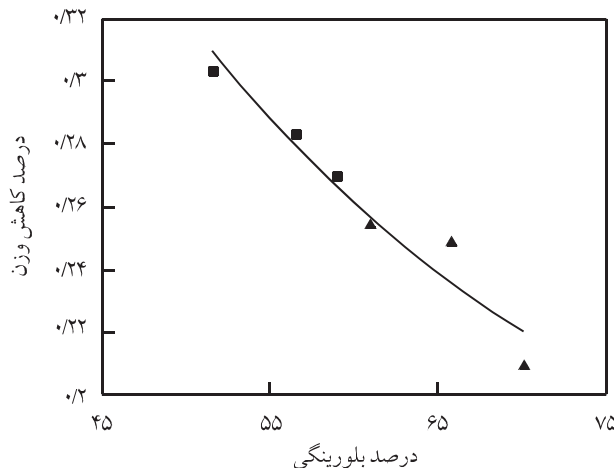
شکل ۳ نمودارهای تجزیه گرمایی نمونه‌های قالبگیری تزریقی مختلف:
(الف) نمونه ۴، (ب) نمونه ۵ و (ج) نمونه ۶.

با کمک نمودارهای حاصل از نتایج تجزیه گرمایی، مقدار بلورینگی نمونه‌ها محاسبه شد. این نمودارها در شکل‌های ۲ و ۳ آمده است. نتایج حاصل از نمودارهای بدست آمده از تجزیه گرمایی نمونه‌ها و مقدار بلورینگی محاسبه شده براساس این نتایج و معادله (۱)، در جدول ۴ خلاصه شده است. همان‌طور که در نتایج DSC ارائه شده در جدول ۴ مشاهده می‌شود با کاهش سرعت سرمایش نمونه‌ها، دمای ذوب و مساحت پیک مربوط به آنتالپی مذاب افزایش می‌یابد. تغییر سرعت سرمایش، در ساختار واحدهای ساختاری بلورها تغییری ایجاد نمی‌کند.



شکل ۲ نمودارهای تجزیه گرمایی نمونه‌های قالبگیری فشاری مختلف:
(الف) نمونه ۱، (ب) نمونه ۲ و (ج) نمونه ۳.

جدول ۴ نتایج حاصل از آزمون DSC نمونه‌ها.



شکل ۴ نمودار مقدار مهاجرت کلی بر حسب درصد بلوورینگی: (■) نمونه‌های قالبگیری تزریقی، (▲) نمونه‌های قالبگیری فشاری و (—) منحنی عبور داده شده از داده‌های نمونه‌های قالبگیری فشاری و تزریقی.

نتیجه‌ای مشخص در این زمینه ضروری است ساختار بلوری نمونه‌ها مشخص شود و بررسی بیشتر و آزمایش‌های دقیق‌تری روی نمونه‌ها انجام شود.

نتیجه‌گیری

پدیده مهاجرت مواد از ظروف پلی اتیلن سنگین به ماده غذایی چرب، با نفوذ مواد درون پلیمر کنترل می‌شود. پدیده نفوذ با نظریه حجم آزاد بیان می‌شود. از طرفی مقدار بلوورینگی ماده، با حجم آزاد رابطه معکوس دارد. به عبارتی نفوذ از بخش‌های بی‌شکل انجام می‌شود. بنابراین، با افزایش بلوورینگی پلیمر، حجم آزاد کاهش می‌یابد و نفوذ سخت تر اتفاق می‌افتد. عوامل فرایند شکل دهنده که کنترل کننده بلوورینگی قطعه پلیمری هستند، بر مقدار حجم آزاد نمونه اثر دارد و بدین ترتیب بر مقدار مهاجرت مواد از قطعه به ماده غذایی مؤثر است. به همین دلیل شاخص بلوورینگی به عنوان شاخصی اثربازی از فرایند شکل دهنده انتخاب و اثر آن بر مقدار مهاجرت کلی بررسی شده است. با کاهش سرعت سرمایش قطعه پلی اتیلن سنگین در فرایندهای قالبگیری فشاری و قالبگیری تزریقی، بلوورینگی نمونه افزایش می‌یابد. مقدار مهاجرت مواد از نمونه به شبیه غذای چرب کاهش می‌یابد. روند کاهش مقدار مهاجرت کلی براساس افزایش بلوورینگی برای هر دو فرایند قالبگیری فشاری و تزریقی

نمونه	دماهی ذوب (°C)	آنالپی ذوب (J/g)	وزن نمونه (mg)	درصد بلوورینگی (%)
۱	۱۳۰/۵	۱۷۵	۹/۵	۶۱/۰۴
۲	۱۳۳/۴	۱۸۹	۹/۵	۶۵/۹۲
۳	۱۳۷/۲	۲۰۱	۱۰/۷	۷۰/۱۱
۴	۱۳۵	۱۴۸	۹/۶	۵۱/۶۲
۵	۱۳۳	۱۶۲/۵	۹/۲	۵۶/۶۸
۶	۱۳۴	۱۶۹/۵۶	۸/۸	۵۹/۱۴

پس از انجام آزمون مهاجرت به روش عنوان شده، کاهش وزن نمونه‌ها محاسبه شد. آزمونها برای هر نمونه ۳ بار تکرار شد، خطای نسبی آزمایشها براساس نتایج محاسبه شده حدود ۷۲۴ درصد بدست آمد. نتایج کاهش وزن نمونه‌ها پس از آزمون مهاجرت، در جدول ۵ آمده است. نتایج بدست آمده از آزمون مهاجرت کلی برای هر دو دسته نمونه‌های قالبگیری تزریقی و فشاری نشان می‌دهد که با افزایش مقدار بلوورینگی نمونه‌ها، مقدار کاهش وزن نمونه‌ها کاهش می‌یابد. به عبارتی با افزایش بلوورینگی، مقدار مهاجرت کلی کاهش می‌یابد. روند مشاهده شده در کاهش مقدار مهاجرت کلی برای نمونه‌های قالبگیری تزریقی و قالبگیری فشاری در شکل ۴ نشان داده شده است. همان‌طور که در این شکل مشاهده می‌شود روند کاهش در مقدار مهاجرت کلی برای نمونه‌های قالبگیری تزریقی و قالبگیری فشاری یکسان است و بیان کننده این نکته است که نوع فرایند شکل دهنده، به عبارتی تفاوت جریان و تنشها در فرایندهای شکل دهنده و در نتیجه تفاوت در ساختار بلورهای اثر قابل توجهی بر مقدار مهاجرت مواد ندارد، البته برای دستیابی به

جدول ۵ نتایج آزمون مهاجرت عمومی نمونه‌ها.

نمونه	وزن اولیه نمونه (g)	وزن ثانویه نمونه (g)	درصد کاهش نمونه	آنالپی ذوب (J/g)
۱	۲/۸۹۸۸	۲/۸۹۱۴	۰/۲۵۵	۱۴۲
۲	۲/۹۲۶۶	۲/۹۲۳۹	۰/۲۴۹	۱۵۱
۳	۲/۷۵۶۱	۲/۷۵۰۳	۰/۲۱	۱۶۱
۴	۳/۰۶۴۳	۳/۰۵۴۹	۰/۳۰۳	۱۲۶
۵	۳/۰۹۵۹	۳/۰۸۷۱	۰/۲۸۳	۱۲۸
۶	۲/۹۳۶۴	۲/۹۲۸۵	۰/۲۶۹	۱۳۱/۴۴

تشکر و قدردانی

از حمایتهای مالی شرکت پژوهش و فناوری پتروشیمی، گروه پژوهشی مشتری محور و راهنماییهای مسئولان محترم آن شرکت در انجام این پژوهش قادردانی می‌شود.

یکسان است. این موضوع حاکی از آن است که اثر نوع فرایند و به عبارتی ساختار بلورها بر مقدار مهاجرت قابل چشم‌پوشی است. برای رسیدن به نتیجه دقیق در مورد اثر ساختار بلورها بر مقدار مهاجرت بررسیهای بیشتری باید انجام شود.

مراجع

1. Lau O.W. and Wong S.K., Contamination in Food from Packaging Material, *J. Chromatography A*, **882**, 255-270, 2000.
2. Castle L., An Introduction to Chemical Migration from Food Contact Materials, *Int. Food Safety News*, **9**, 2-4, 2000.
3. Garde J.A. and Catala R., Charachterizing the Migration of Antioxidants from Polypropylene into Fatty Food Simulants, *Food Additive and Contaminants*, **18**, 750-762, 2000.
4. Piringer O.G. and Baner A.L., *Plastic Packaging Materials for Food* (Barrier Function, Mass Transport, Quality Assurance and Legislation), John Wiely and Sons, Chap. 3, 2000.
5. Hedenqvist M., Angelstok A., Edsberg L., Larsson P.T. and Gedde U.W., Diffusion of Small-Molecule Penetrants in Polyethylene: Free Volume and Morphology, *Polymer*, **37**, 2887-2902, 1996.
6. Baird D.G. and Collias D.I., *Polymer Processing Principles and Design*, Butterworth-Heinemann, Washington, 4-5, 1995.
7. Report of Food U.S. and Drug Administration, Guidance for Industry Preparation of Food Contact Notification and Food Additive Petitions for Food Contact Substances, Chemistry Recommendations, Final Guidance, Center for Food Safety and Applied Nutrition Office of Food Additive Safety, April 2002.
8. Standard Test Method for Two-Slided Liquid Extraction of Plastic Materials Using FDA Migration Cell, Annual Book of ASTM Standards, D4754-98, 2000.
9. Hatakeyama T. and Liu Z., *Handbook of Thermal Analysis*, Wiley and Sons, Chap. 4, 1998.